

## การปรับสภาพขุยม:พร้าวฯเพื่อผลิตแก๊สชีวภาพโดยกระบบการหมักแบบใหม่ใช้ออกซิเจนร่วมกับมูลวัว

### Pretreatment of Coconut Husk for Biogas Production by Anaerobic Fermentation with Cow Dung

เวสารัช สุนทรชัยบูรณ์<sup>1</sup> อัญวิทย์ พลายงาม<sup>2</sup> และ รัชพล พะวงศ์รัตน์<sup>3\*</sup>

<sup>1</sup>นักศึกษา สาขาวิทยาศาสตร์ชีวผลิตภัณฑ์ <sup>2</sup>นักศึกษา สาขาวิทยาศาสตร์ชีวภาพ <sup>3</sup>อาจารย์ สาขาวิทยาศาสตร์ชีวผลิตภัณฑ์ คณะศิลปศาสตร์และวิทยาศาสตร์ มหาวิทยาลัยเกษตรศาสตร์ จังหวัดนครปฐม 73140

#### บทคัดย่อ

การศึกษาสภาพที่เหมาะสมในการปรับสภาพขุยมพร้าวฯโดยวิธีการทางเคมีร่วมกับทางกายภาพเพื่อการผลิตแก๊สชีวภาพ โดยทำการเตรียมตัวอย่างขุยมพร้าวฯนำไปอบแห้งและลดขนาด (ประมาณ 0.1 มิลลิเมตร) วิเคราะห์องค์ประกอบทางเคมีของตัวอย่างเริ่มต้น ได้แก่ เซลลูโลส เอเมิร์เซลลูโลส และ ลิกนิน  $35.67 \pm 2.02$ ,  $7.41 \pm 0.69$  และ  $40.82 \pm 0.62$  โดยน้ำหนัก ตามลำดับ หลังจากที่ขุยมพร้าวฯผ่านการปรับสภาพด้วยวิธีที่แตกต่างกัน 4 วิธี พบว่า การปรับสภาพด้วยสารละลายน้ำเดียวโซเดียมไฮดรอกไซด์ร้อยละ 30 โดยน้ำหนัก ให้องค์ประกอบทางเคมีสูงสุดคิดเป็นเซลลูโลส เอเมิร์เซลลูโลส และลิกนิน  $43.30 \pm 0.35$ ,  $29.69 \pm 0.48$ ,  $27.36 \pm 0.03$  โดยน้ำหนัก ตามลำดับ เมื่อเทียบกับตัวอย่างเริ่มต้น ( $p < 0.05$ ) หลังจากนั้นศึกษาคักษากิจภาพการผลิตแก๊สชีวภาพร่วมกับมูลวัว ในอัตราส่วนต่าง ๆ กัน (1:1 1:2 1:3 และ 1:4) เป็นเวลา 30 วัน พบว่า ที่อัตราส่วน 1:4 มีปริมาณแก๊สชีวภาพสะสมสูงสุดเท่ากับ 442.6 มิลลิลิตร มีแก๊สมีเทนและแก๊สคาร์บอนไดออกไซด์เป็นองค์ประกอบอยู่ร้อยละ 46.1 และ 23.1 ร้อยละของการกำจัด (% remove) ของปริมาณของแข็งทั้งหมด (TS) ของแข็งระเหยร่าย (VS) ของแข็งแขวนลอย (SS) และซีโอดี (COD) คิดเป็นร้อยละ 69.3 32.5 50.0 และ 58.4 ตามลำดับ อัตราส่วนคาร์บอนต่อไนโตรเจนเท่ากับ 23:1 ดังนั้น ขุยมพร้าวฯจึงเป็นอีกทางเลือกหนึ่งที่นำมาประยุกต์ใช้ในการผลิตแก๊สชีวภาพโดยประยุกต์ใช้ร่วมกับมูลวัว ซึ่งขุยมพร้าวฯที่ผ่านการปรับสภาพจะเป็นอีกทางเลือกหนึ่งในการผลิตแก๊สชีวภาพ อีกทั้งยังเป็นการนำวัสดุเหลือทิ้งจากการเกษตรมาประยุกต์ใช้เพื่อเกิดประโยชน์ในอนาคต

#### Abstract

The optimal pretreatment condition of coconut husk by physicochemical methods for biogas production was investigated. The coconut husk was dried and ground into powder (~0.1 nm) and was then determined for chemical contents such as cellulose, hemi-cellulose and lignin, respectively. The chemical contents of cellulose, hemi-cellulose and lignin were  $35.67 \pm 2.02$ ,  $7.41 \pm 0.69$  and  $40.82 \pm 0.62$  w/w, respectively. After pretreatment with 4 different methods, the results showed that the pretreatment of sodium hydroxide 30% (w/w) gave the highest chemical contents of cellulose, hemi-cellulose and lignin with  $43.30 \pm 0.35$ ,  $33.69 \pm 7.48$  and  $27.36 \pm 0.03$  w/w, respectively. As for the biogas production, the result showed that the ratio of coconut husk to cow dung of 1:4 with C:N ratio of 23:1 gave the highest cumulative biogas of 442.6 ml for 30 days. Methane and carbon dioxide contents were 46.1 and 23.1%. Moreover, the removal percentages of the total solids (TS), volatile solid (VS), suspended solids (SS) and COD were 69.3, 32.5, 50.0 and 58.4%, respectively. The coconut husk could be used as an alternative material for the application of biogas production with cow dung in the near future.

คำสำคัญ : แก๊สชีวภาพ การปรับสภาพ กระบวนการหมักแบบใหม่ใช้ออกซิเจน ขุยมพร้าว มูลวัว

Keywords : Biogas, Pretreatment, Anaerobic Fermentation, Coconut Husk, Cow Dung

\* ผู้รับผิดชอบงานวิจัย อีเล็กทรอนิกส์ [faasrpp@ku.ac.th](mailto:faasrpp@ku.ac.th) โทร. 0 3428 1105-6 ต่อ 7678

## 1. บทนำ

จากสถานการณ์ปัจจุบันที่ราคาพลังงานต่างกันปรับตัวสูงขึ้น ประกอบกับความต้องการพลังงานก็มีเพิ่มมากขึ้นและผลของการใช้พลังงานฟอสซิล ทำให้มีการปลดปล่อยคาร์บอนออกมาน้ำสิ่งแวดล้อมทำให้เกิดภาวะโลกร้อน ปัจจุบันหลายประเทศรวมถึงประเทศไทยมีการพัฒนาพลังงานทางเลือกของตนเอง สำหรับประเทศไทยเป็นประเทศที่มีวัสดุเหลือใช้ทางเกษตร譬如กลิโน-เซลลูโลส (Lignocellulose) อยู่เป็นจำนวนมากมากซึ่งเป็นกลุ่มของชีวมวลอินทรีย์ที่ประกอบด้วยองค์ประกอบหลัก คือ เซลลูโลส เออมิเซลลูโลส และลิกนิน พบมากในผนังเซลล์ของพืช เช่น พางข้าว ชั้งข้าวโพด ชานอ้อย เป็นต้น (กิตติภานท์, 2554) ขุยมะพร้าวถือเป็นวัสดุเหลือใช้ทางเกษตรอีกประเภทหนึ่งที่จัดเป็นวัสดุพากลิกโนเซลลูโลส และมีจำนวนมากเพราะประเทศไทยมีพื้นที่การปลูกมะพร้าวราوا 1.4 ล้านไร่ และมีผลผลิตเนลี่ย 1.38 ล้านตันต่อปี (สำนักงานเศรษฐกิจการเกษตร, 2552) การนำวัสดุเหลือใช้ทางเกษตร譬如กลิโนเซลลูโลสไปใช้ประโยชน์มีได้หลายรูปแบบ การผลิตแก๊สชีวภาพก็เป็นรูปแบบการผลิตพลังงานทดแทนที่พบเห็นได้มาก เพาะการผลิตแก๊สชีวภาพสามารถทำได้ในระดับครัวเรือน แต่ปัญหาในการผลิตแก๊สชีวภาพจากการวัสดุเหลือใช้ทางเกษตร譬如กลิโนเซลลูโลสโดยส่วนใหญ่ คือ วัสดุประเภทนี้จะมีโครงสร้างไม่เลกุลที่ซับซ้อนยากแก่การย่อยสลายของจุลินทรีย์ เช่น ลิกนิน (พงษ์คัตตี, 2553) จึงจำเป็นต้องมีขั้นตอนการปรับสภาพ (Pretreatment) เพื่อลดขนาดไม่เลกุล และกำจัดส่วนประกอบที่จุลินทรีย์ไม่สามารถย่อยได้ออกไป

โดยขั้นตอนการปรับสภาพสามารถทำได้หลายวิธี การ โดยอาจจะใช้วิธีการทางเคมี เช่น การใช้กรดหรือ ด่าง ทางกายภาพ เช่น การบด กาใช้ไอน้ำ แรงดันสูง ทางชีวภาพ เช่น การใช้เอนไซม์ เชลลูโลส หรืออย่างได้อย่างหนึ่งร่วมกัน ทั้งนี้ขึ้นอยู่กับปัจจัยหลายประการ รวมทั้งชนิดของวัสดุที่ใช้ด้วย (รัชพล, 2554)

ดังนั้น งานวิจัยนี้จึงมีวัตถุประสงค์เพื่อศึกษาขั้นตอนการปรับสภาพ (Pretreatment) วัสดุพากลิกโนเซลลูโลสจากขุยมะพร้าวโดยวิธีการเคมีร่วมทางกายภาพให้เหมาะสมสมต่อการผลิตแก๊สชีวภาพโดยการหมักแบบไม่ใช้อากาศเจนร่วมกับมูลว� เพื่อเพิ่มประสิทธิภาพในการผลิตแก๊สชีวภาพอีกทั้งยังศึกษาความเป็นไปได้ในการนำวัสดุเหลือใช้ทางเกษตรมาประยุกต์ใช้เพื่อเกิดประโยชน์ในอนาคต

## 2. วิธีการทดลอง

### 2.1 การเตรียมตัวอย่างขุยมะพร้าว และมูลวัว

นำตัวอย่างขุยมะพร้าว (มหาวิทยาลัยเกษตรศาสตร์กำแพงแสน จ.นครปฐม) บดลดขนาด (ประมาณ 1-2 มิลลิเมตร) จากนั้นนำไปอบที่อุณหภูมิ 70 องศาเซลเซียล เป็นเวลา 24 ชั่วโมง ทำการวิเคราะห์องค์ประกอบทางเคมีของเล็กน้อย เริ่มต้น ได้แก่ เซลลูโลส เออมิเซลลูโลส และลิกนิน นำมูลวัวสด (ควบอย่างแน่น กำแพงแสน จ.นครปฐม) ตากผึ่งแเดดเป็นเวลา 1-2 วัน เก็บใส่ภาชนะบดให้มิดชิด ทำการวิเคราะห์คุณสมบัติเบื้องต้น ได้แก่ ของแข็งทั้งหมด (TS) ของแข็งแขวนลอย (SS) ของแข็งระเหยง่าย (VS) และความชื้น

## 2.2 การศึกษาสภาวะที่เหมาะสมในการปรับสภาพบุยมะพร้าว โดยวิธีการเคมีร่วมกับการ加熱

การปรับสภาพเพื่อเตรียมตัวอย่างชุบมะพร้าวโดยใช้วิธีการทางกายภาพร่วมกับทางเคมีพร้อมกับหม้อน้ำในน้ำแรงดันสูงที่ได้ดัดแปลงมาจากวิธีการของ รัชพล (2554) โดยแบ่งออกเป็น 4 วิธีการคือ

### 2.2.1 การปรับสภาพด้วยสารละลายโซเดียมไฮดรอกไซด์

นำตัวอย่างจำนวน 30 กรัม ต้มกับสารละลายโซเดียมไฮดรอกไซด์ 500 มิลลิลิตร ที่ความเข้มข้นต่าง ๆ กัน (ร้อยละ 20 25 และ 30 โดยน้ำหนัก) ที่อุณหภูมิ 100 องศาเซลเซียล เป็นเวลา 2 ชั่วโมง กรองแยกตัวอย่าง ล้างด้วยน้ำกลั่นจนมีค่า pH ~ 7 แล้วนำไปอบที่อุณหภูมิ 70 องศาเซลเซียล เป็นเวลา 8 ชั่วโมง เก็บตัวอย่างใส่ถุงพลาสติกปิดปากถุงให้สนิท

### 2.2.2 การปรับสภาพด้วยหม้อน้ำในน้ำแรงดันสูง (Autoclave)

นำตัวอย่างจำนวน 30 กรัม เติมน้ำกลั่น 500 มิลลิลิตร นำไปย่อยด้วยหม้อน้ำในน้ำแรงดันสูง (Autoclave) ที่อุณหภูมิ 121 องศาเซลเซียล ความดัน 15 ปอนด์ต่อตารางนิ้ว เป็นเวลา 30 นาที กรองแยกตัวอย่าง นำไปอบที่อุณหภูมิ 70 องศาเซลเซียล เป็นเวลา 8 ชั่วโมง เก็บตัวอย่างใส่ถุงพลาสติกปิดปากถุงให้สนิท

### 2.2.3 การปรับสภาพด้วยหม้อน้ำในน้ำแรงดันสูง (Autoclave) และตามด้วยสารละลายโซเดียมไฮดรอกไซด์

นำตัวอย่างจำนวน 30 กรัม เติมน้ำกลั่น 500 มิลลิลิตร แล้วย่อยด้วย Autoclave ที่อุณหภูมิ 121 องศาเซลเซียล ความดัน 15 ปอนด์ต่อตารางนิ้ว เป็นเวลา 30 นาที กรองแยกตัวอย่าง จากนั้น แล้วมาต้มกับสารละลายโซเดียมไฮดรอกไซด์ 500 มิลลิลิตร ที่ความเข้มข้นต่าง ๆ กัน (ร้อยละ 20 25 และ 30 โดยน้ำหนัก) ที่อุณหภูมิ 100 องศาเซลเซียล เป็นเวลา 2 ชั่วโมง กรองแยกตัวอย่าง ล้างด้วยน้ำกลั่นจนมีค่า pH ~ 7 แล้วนำไปอบที่อุณหภูมิ 70 องศาเซลเซียล เป็นเวลา 8 ชั่วโมง เก็บตัวอย่างใส่ถุงพลาสติกปิดปากถุงให้สนิท

### 2.2.4 การปรับสภาพด้วยหม้อน้ำในน้ำแรงดันสูง ร่วมกับสารละลายโซเดียมไฮดรอกไซด์

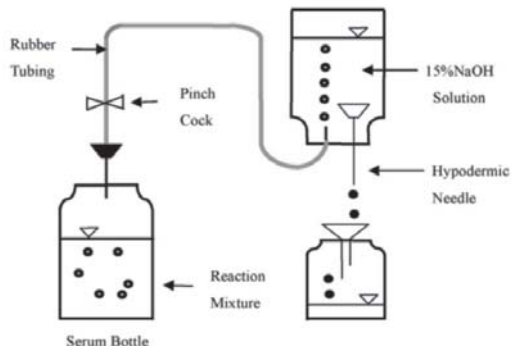
นำชุบมะพร้าวที่เตรียมไว้ 30 กรัม มาผสมกับสารละลายโซเดียมไฮดรอกไซด์ 500 มิลลิลิตร ที่ความเข้มข้นต่าง ๆ กัน (ร้อยละ 20 25 และ 30 โดยน้ำหนัก) แล้วย่อยด้วย Autoclave ที่อุณหภูมิ 121 องศาเซลเซียล ความดัน 15 ปอนด์ต่อตารางนิ้ว เป็นเวลา 30 นาที กรองแยกตัวอย่าง และนำไปอบที่อุณหภูมิ 70 องศาเซลเซียล นาน 8 ชั่วโมง เก็บตัวอย่างใส่ถุงพลาสติกปิดปากถุงให้สนิท จากนั้นวิเคราะห์องค์ประกอบทางเคมีของเลันไยและน้ำหนักของตัวอย่างที่เหลือหลังการปรับสภาพ

## 2.3 ศึกษาโครงสร้างทางกายภาพของชุบมะพร้าวหลังจากท่านกระบวนการปรับสภาพ

ชุบมะพร้าวที่ผ่านกระบวนการปรับสภาพจะนำไปศึกษาโครงสร้างของเลันไยโดยผ่านกล้องจุลทรรศน์อิเล็กตรอนกำลังขยายสูง หรือ Scanning Electron Microscope (SEM) เพื่อศึกษาโครงสร้างทางกายภาพของเลันไย

## **2.4 ศึกษาศักยภาพของบุญมะพร้าวที่พัฒนาการปรับ สภาพในการผลิตแก็สเชื้อเพลิง**

การศึกษาการผลิตแก๊ลชีวภาพโดยใช้กระบวนการหมักแบบงวด (Batch) โดยดัดแปลงมาจากวิธีการของ Pilanee et al. (2011) โดยพิจารณาอัตราส่วนของขุยมะพร้าวที่ผ่านการปรับสภาพในสภาวะที่เหมาะสมกับมูลวัวในอัตราส่วนต่าง ๆ กัน (1:1 1:2 1:3 และ 1:4) วัดปริมาณแก๊ลชีวภาพโดยใช้หลักการแทนที่น้ำ ทุก ๆ 3 วันโดยทำการหมักแบบไม่ใช้อากซิเจน ในชุดอุปกรณ์การผลิตแก๊ลชีวภาพ ซึ่งดัดแปลงมาจากวิธีการของ Hu et al. (2008) (รูปที่ 1)



รูปที่ 1 ชุดอุปกรณ์การผลิตแก๊ลซีวภาพ

## 2.5 การวิเคราะห์

ทำการวิเคราะห์ทางค่าประกอบเคมีของเล็บไขมันมีพิษก่อนการปรับสภาพและหลังการปรับสภาพ โดยตัดแปลงมาจากวิธีการของ AOAC (1980) วิเคราะห์องค์ประกอบของมูลรัว ของแข็งทั้งหมด (TS) ของแข็งระเหยง่าย (VS) ของแข็งแurenloy (SS) และความชื้น โดยตัดแปลงมาจากวิธีการของ (AOAC, 1980) การวิเคราะห์ค่าซีโอดี (COD) โดยตัดแปลงมาจากวิธีการของ (มั่นสินและมั่นรักกษ์, 2551) วิเคราะห์ค่าความเป็นกรด-ด่าง โดย

เครื่องวัดค่ากรดด่าง (pH-meter) วิเคราะห์ปริมาณในโตรเจนทั้งหมด โดยดัดแปลงมาจากวิธีการของ (ทัศนีย์ และจงรักษ์, 2542) การวิเคราะห์หาสารอินทรีย์ โดยดัดแปลงมาจากวิธีการของ (Walkley and Black, 1934) วิเคราะห์องค์ประกอบของแก๊สได้แก่ ปริมาณแก๊สมีเทน ( $\text{CH}_4$ ) และแก๊สคาร์บอนไดออกไซด์ ( $\text{CO}_2$ ) โดยเครื่องแก๊สโคโรมา-โทกราฟี (Gas Chromatography) โดยดัดแปลงมาจากวิธีการของ (สมจินตนา, 2554)

## 2.6 การวิเคราะห์ผลทางสังคม

ขั้นตอนในการวิจัยและผลการทดลองทั้งหมด  
จากการวิจัยทำข้าพื้นที่มด 3 ครั้ง วิเคราะห์ข้อมูล  
โดยใช้แผนการทดลองแบบสุ่มสมบูรณ์ (Completely  
Randomized Desing: CRD) วิเคราะห์ความ  
แปรปรวน (ANOVA) และเปรียบเทียบความ  
แตกต่างของค่าเฉลี่ยโดยใช้วิธี Duncan ที่ระดับ  
ความเชื่อมั่น 95.0 เปอร์เซ็นต์ ( $p < 0.05$ )

### 3. พลการทดสอบและวิจารณ์ผล

### 3.1 ພລກາຣົວຄະຫຼອງຄປະກອບເບື້ອງຕັນຂອງ ວັສດໜັກ

จากการวิเคราะห์องค์ประกอบเบื้องต้นของ มูลวัว พบว่า มูลวัวมีปริมาณของแข็งทั้งหมด (TS) ของแข็งระเหยง่าย (VS) และของแข็งแขวนลอย (SS) มีค่าเท่ากับ 107,184.44 75,482.10 251,000 มลลิกรัมต่อลิตร ตามลำดับ ความชื้นมีค่าเท่ากับ ร้อยละ 52.55 (ตารางที่ 1) เมื่อเปรียบเทียบกับงานวิจัยการหมักมูลวัวแบบไม่ใช้ออกซิเจนสำหรับการผลิตก๊าซชีวภาพของท่านองเดียวกับงานวิจัยของ Abubakar and Ismail (2012) พบว่า ความชื้นมีค่าใกล้เคียงกัน (ร้อยละ 41.2) มีปริมาณ TS และ VS

มีค่าน้อยกว่า เท่ากับ 156 และ 32.5 มิลลิกรัมต่อ ลิตร ตามลำดับ ทั้งนี้เนื่องมาจากปริมาณของสาร อินทรีย์และการสูญเสียของมหาวิเคราะห์ เพราะ มูลวั�มาจากแหล่งที่แตกต่างกัน

**ตารางที่ 1 คุณลักษณะเบื้องต้นของมูลวััว**

พารามิเตอร์	องค์ประกอบ
ของแข็งทั้งหมด (TS) มก./ล.	107,184.44±1,124
ของแข็งระเหยจ่าย (VS) มก./ล.	75,482.10±2,358
ของแข็งแขวนลอย (SS) มก./ล.	251,000±2,458
ความชื้น (ร้อยละ)	52.55±3.48

### 3.2 พลการศึกษาสภาพก่อนหน้าสมต่อการปรับสภาพ (Pretreatment) บุยเมพร้าวโดยวิธีการเคมีร่วมกับการทำกายภาพ

จากการศึกษาสภาพที่เหมาะสมสมต่อการปรับสภาพขุยมะพร้าวโดยวิธีทางเคมีร่วมกับการทำกายภาพ จากตารางที่ 2 พบว่า วิธีการปรับสภาพโดยด้วยสารละลายน้ำซึ่งเดียวมีไฮดรอกไซด์ การใช้หม้อนึ่งไอน้ำแรงดันสูง (Autoclave) แล้วตามด้วยสารละลายน้ำซึ่งเดียวมีไฮดรอกไซด์และการใช้หม้อนึ่งไอน้ำแรงดันสูง (Autoclave) ร่วมกับสารละลายน้ำซึ่งเดียวมีไฮดรอกไซด์ ส่งผลให้มีปริมาณเซลลูโลสเพิ่มขึ้น ซึ่งวิธีการปรับสภาพด้วยหม้อนึ่งไอน้ำแรงดันสูงเพียงอย่างเดียว ส่งผลให้มีปริมาณเซลลูโลสลดน้อยกว่าวิธีอื่น ๆ ( $p<0.05$ ) โดยพบว่า การปรับสภาพด้วยสารละลายน้ำซึ่งเดียวมีไฮดรอกไซด์ที่ความเข้มข้นร้อยละ 30 โดยน้ำหนักมีปริมาณเอมิเซลลูโลสสูงที่สุด ( $p<0.05$ ) และการปรับสภาพโดยหม้อนึ่งไอน้ำแรงดันสูงอย่างเดียวมีปริมาณเอมิเซลลูโลสต่ำที่สุด ( $p<0.05$ ) เป็นผลให้การปรับสภาพด้วยสารละลายน้ำซึ่งเดียวมีไฮดรอกไซด์ร้อยละ

30 โดยน้ำหนัก มีปริมาณผลรวมเซลลูโลส เอมิเซลลูโลสและเลันไยสูงสุด และพบว่า วิธีการปรับสภาพด้วยสารละลายน้ำซึ่งเดียวมีไฮดรอกไซด์ร้อยละ 30 โดยน้ำหนัก ร่วมกับหม้อนึ่งไอน้ำแรงดันสูง จะมีน้ำหนักคงเหลือหลังปรับสภาพน้อยที่สุด ใน การปรับสภาพด้วยสารละลายน้ำซึ่งเดียวมีไฮดรอกไซด์ เป็นสภาวะที่เหมาะสมต่อการปรับสภาพขุยมะพร้าว การปรับสภาพด้วยหม้อนึ่งไอน้ำแรงดันสูง แล้วตามด้วยสารละลายน้ำซึ่งเดียวมีไฮดรอกไซด์หรือพร้อม เป็นสภาวะที่รุนแรงมีผลให้ปริมาณเอมิเซลลูโลส และเลันไยลดน้อยลง ซึ่งอาจเกิดจากการเกิดปฏิกิริยามากเกินไปจนทำให้ไม่เพียงแต่จะกำจัดส่วนที่ไม่ต้องการแต่ยังกำจัดส่วนที่เราต้องการอีกด้วย (นวรัตน์, 2553) ดังนั้น จึงใช้ตัวอย่างที่ผ่านการปรับสภาพโดยสารละลายน้ำซึ่งเดียวมีไฮดรอกไซด์ ที่ความเข้มข้นร้อยละ 30 โดยน้ำหนัก ในการทดลองขั้นต่อไป

### 3.3 พลการศึกษาลักษณะโครงสร้างภายนอกตัวอย่างกล้องจุลทรรศน์อิเล็กตรอนแบบส่องกล้อง

จากการศึกษาลักษณะโครงสร้างภายนอกตัวอย่างกล้องจุลทรรศน์อิเล็กตรอนแบบส่องกล้อง (Scanning Electron Microscope: SEM) จากผลการทดลองเมื่อทำการปรับสภาพขุยมะพร้าว ด้วยวิธีทางเคมีร่วมกับการทำกายภาพ พบว่า โครงสร้างของขุยมะพร้าวมีการเปลี่ยนแปลงไปจากเดิม เมื่อเปรียบเทียบกับโครงสร้างที่ไม่ผ่านการปรับสภาพ (รูปที่ 2 ก-ค) การปรับสภาพด้วยสารละลายน้ำซึ่งเดียวมีไฮดรอกไซด์จะมีลักษณะของขุยมะพร้าวที่เปลี่ยนมากกว่า (รูปที่ 2 ข) ซึ่งอาจเป็นผลของสารละลายน้ำซึ่งเดียวมีไฮดรอกไซด์ การปรับสภาพด้วยสารละลายน้ำซึ่งเดียวมีไฮดรอกไซด์

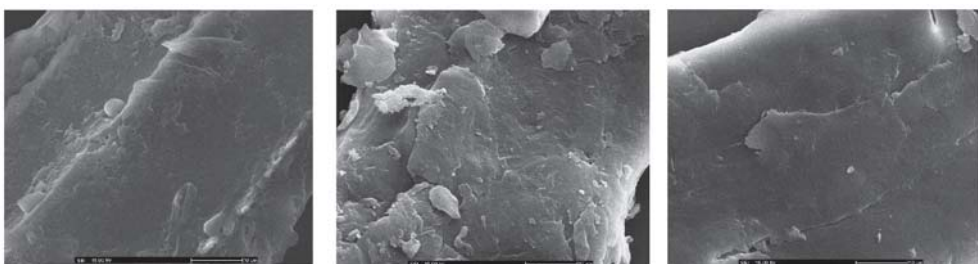
ร่วมกับหม้อน้ำไอน้ำแรงดันสูงทำให้โครงสร้างชุย  
มะพร้าวอัดแน่นมากขึ้น (รูปที่ 2ค) อาจเป็นผล  
จากความร้อนและแรงดันของหม้อน้ำไอน้ำแรงดัน

สูง ที่ส่งผลต่อโครงสร้างชุยมะพร้าว (ธิติมา  
และคณะ, 2554)

## ตารางที่ 2 ปริมาณองค์ประกอบทางเคมีของชุยมะพร้าวที่ผ่านการปรับสภาพด้วยวิธีต่าง ๆ

การปรับสภาพ	องค์ประกอบทางเคมีของชุยมะพร้าว (กรัมต่อ 100 กรัม)				เลี้นไย	ร้อยละน้ำหนัก ตัวอย่างที่เหลือ
	เชลลูโลส	เยมิเชลลูโลส	ลิกนิน			
ไม่ผ่าน	ชุดควบคุม	35.67±2.02 <sup>b</sup>	7.41±0.69 <sup>d</sup>	40.82±0.62 <sup>b</sup>	43.08±0.18 <sup>d</sup>	100±0.0 <sup>a</sup>
Autoclave	NaOH 20%	46.30±1.42 <sup>a</sup>	12.45±3.64 <sup>c</sup>	29.31±2.04 <sup>c</sup>	58.75±1.57 <sup>b</sup>	35.50±0.42 <sup>e</sup>
	NaOH 25%	44.83±0.13 <sup>a</sup>	17.69±1.14 <sup>c</sup>	26.65±1.18 <sup>de</sup>	62.53±0.9 <sup>b</sup>	36.00±1.27 <sup>e</sup>
	NaOH 30%	43.30±0.35 <sup>a</sup>	29.69±0.48 <sup>a</sup>	27.36±0.03 <sup>cde</sup>	72.99±5.31 <sup>a</sup>	32.86±0.33 <sup>ef</sup>
Autoclave	-	37.05±2.62 <sup>b</sup>	0.85±1.54 <sup>e</sup>	46.80±0.39 <sup>a</sup>	36.59±0.21 <sup>c</sup>	77.59±1.11 <sup>b</sup>
ตามด้วยด่าง	NaOH 20%	44.39±0.21 <sup>a</sup>	15.30±0.63 <sup>bc</sup>	28.25±0.07 <sup>cd</sup>	59.69±0.59 <sup>b</sup>	47.25±6.94 <sup>c</sup>
ตามด้วยด่าง	NaOH 25%	46.42±1.52 <sup>a</sup>	16.72±0.66 <sup>bc</sup>	28.22±0.55 <sup>de</sup>	62.32±0.08 <sup>b</sup>	41.46±1.24 <sup>d</sup>
	NaOH 30%	45.47±0.73 <sup>a</sup>	16.10±0.79 <sup>bc</sup>	27.43±0.27 <sup>cde</sup>	61.84±0.04 <sup>b</sup>	41.28±3.30 <sup>d</sup>
หม้อน้ำไอน้ำ	NaOH 20%	43.23±1.49 <sup>a</sup>	20.59±0.84 <sup>b</sup>	26.93±2.06 <sup>cde</sup>	63.98±2.06 <sup>b</sup>	29.66±0.86 <sup>fg</sup>
แรงดันสูง + ด่าง	NaOH 25%	45.01±1.10 <sup>a</sup>	20.33±1.14 <sup>b</sup>	26.62±1.02 <sup>de</sup>	65.01±0.03 <sup>b</sup>	26.10±1.85 <sup>g</sup>
	NaOH 30%	46.02±1.11 <sup>a</sup>	17.73±0.98 <sup>bc</sup>	25.71±1.41 <sup>e</sup>	63.68±0.48 <sup>b</sup>	27.65±3.49 <sup>g</sup>

หมายเหตุ: a, b, c, d, e และ f เป็นค่าทางสถิติที่แสดงความแตกต่างกันอย่างมีนัยสำคัญทางสถิติ ( $p<0.05$ ) เลี้นไย คือ  
ผลรวมเชลลูโลสและเยมิเชลลูโลส



ก

ห

ก

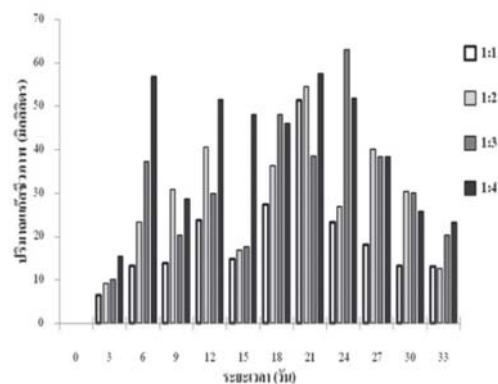
รูปที่ 2 ลักษณะโครงสร้างของชุยมะพร้าว ด้วยกล้องจุลทรรศน์อิเล็กตรอนแบบล่องกราด (Scanning Electron Microscope) ที่กำลังขยาย 2,000 เท่า

- ก. ชุยมะพร้าวที่ไม่ผ่านการปรับสภาพ
- ข. ชุยมะพร้าวที่ผ่านการปรับสภาพด้วยสารละลายโซเดียมไฮดรอกไซด์ร้อยละ 30 โดยน้ำหนัก
- ค. ชุยมะพร้าวที่ผ่านการปรับสภาพด้วยสารละลายโซเดียมไฮดรอกไซด์ร้อยละ 30 โดยน้ำหนักร่วมกับหม้อน้ำไอน้ำแรงดันสูง (Autoclave)

### 3.4 ผลการศึกษาการผลิตแก๊สชีวภาพจากขุย มะพร้าวที่พันการปรับสภาพร่วมกับมูลวัว

จากการศึกษาปริมาณการผลิตแก๊สชีวภาพ โดยทำการวัดปริมาณแก๊สชีวภาพโดยใช้หลักการแทนที่น้ำ ทุก ๆ 3 วัน ของทั้ง 4 อัตราส่วน คือ 1:1, 1:2, 1:3 และ 1:4 จาก (รูปที่ 3) แสดงปริมาณการผลิตแก๊สชีวภาพ ในช่วงแรก (วันที่ 0-6) มีแนวโน้มเพิ่มสูงขึ้นในทุกอัตราส่วนโดยที่อัตราส่วน 1:4 สูงสุด รองลงมาเป็น 1:3, 1:2 และ 1:1 เท่ากับ 56.75, 37.25, 23.25 และ 13.25 มิลลิลิตร ตามลำดับ และค่อย ๆ ลดลง พอวันที่ 15 เป็นต้นไป ปริมาณแก๊สชีวภาพมีแนวโน้มเพิ่มขึ้นต่อเนื่อง โดยพบร่วมที่ 21 อัตราส่วน 1:4, 1:2 และ 1:1 ให้ปริมาณแก๊สชีวภาพสูงสุดเท่ากับ 57.5, 54.5 และ 51.25 มิลลิลิตร ตามลำดับ ในวันที่ 24 อัตราส่วน 1:3 ให้ปริมาณแก๊สชีวภาพสูงสุด เท่ากับ 63 มิลลิลิตร หลังจากวันที่ 27 เป็นต้นไป ปริมาณแก๊สชีวภาพเริ่มลดลงในทุกอัตราส่วน และมีแนวโน้มลดลงไปเรื่อย ๆ ซึ่งรายงานวิจัยของอนุมูล (2556) กล่าวไว้ว่าการที่ปริมาณแก๊สในช่วงแรก เพิ่มสูงขึ้นในทุกอัตราส่วน เนื่องจากจุลทรรศน์อยู่ในช่วงปรับตัวให้คุณเคยกับวัสดุหมักและการย่อยสลายสารอินทรีย์ที่ย่อยง่ายก่อนเพื่อใช้ในการเจริญเติบโตและสร้างเซลล์ใหม่ จากนั้นจึงจะย่อยสลายสารอินทรีย์ที่ย่อยยากต่อไป และรายงานวิจัยของสมฤทธิ์ (2551) ยังกล่าวว่าการที่อัตราการผลิตแก๊สในช่วงหลังเริ่มลดลงเนื่องจากการทดลองนี้เป็นแบบกง ซึ่งมีการเติมสารอินทรีย์เข้าระบบเพียงครั้งเดียวระยะเวลาดำเนินการทดลองนานขึ้นทำให้ปริมาณสารอินทรีย์ในระบบเหลือน้อยลง และย่อยสลายยาก ไม่เพียงพอต่อความต้องการของจุลทรรศน์ การที่อัตราส่วน 1:4 และ 1:3

มีปริมาณแก๊สชีวภาพสูงกว่า 1:2 และ 1:1 เนื่องมาจากอัตราส่วนที่มีสารอินทรีย์มาก จุลทรรศน์จะย่อยสลายสารอินทรีย์ เพื่อใช้ในการสร้างเซลล์ใหม่และเปลี่ยนไปให้แก๊สเมทานได้มาก นอกจากนี้ การผลิตแก๊สชีวภาพให้ได้ปริมาณสูง ยังขึ้นอยู่กับปัจจัยหลายอย่าง เช่น พืชเชื้อ อุณหภูมิ ความมีการควบคุมให้อยู่ในช่วงที่เหมาะสม แต่การทดลองนี้ไม่ได้มีการควบคุมพืชเชื้อและอุณหภูมิ ปริมาณสารอินทรีย์ อัตราส่วนควรบอนต่อในโตรเลน

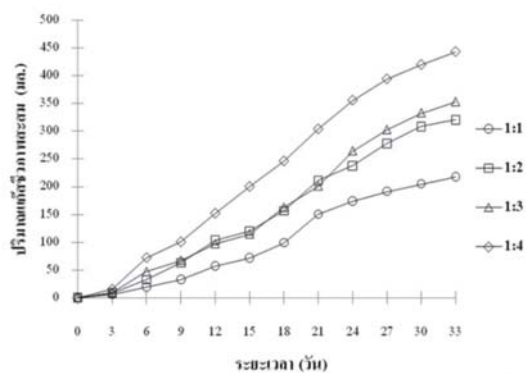


รูปที่ 3 การผลิตแก๊สชีวภาพในแต่ละวันของชุมชนพร้าวที่ปรับสภาพร่วมกับมูลวัว ในอัตราส่วนที่แตกต่างกันที่ต่างกัน

การผลิตแก๊สชีวภาพแบบกง จะจำเพาะต่อการเจริญเติบโตของแบคทีเรียมทาโนเจนัส จาก (รูปที่ 4) ซึ่งในช่วง 3 วันแรกจะมีปริมาณแก๊สชีวภาพสะสมน้อยในทุกอัตราส่วน อยู่ในช่วง 6.38-15.38 มิลลิลิตรและในวันที่ 6-27 มีการปริมาณแก๊สชีวภาพสะสมเพิ่มขึ้น ปริมาณแก๊สชีวภาพสะสมจากตารางที่ 3 แสดงแต่ละอัตราส่วนแตกต่างกันอย่างมีนัยสำคัญทางสถิติที่ระดับความเชื่อมั่น 95 เปอร์เซ็นต์ ( $p<0.05$ ) โดยที่อัตราส่วน 1:4 ให้ปริมาณแก๊สชีวภาพสะสมสูงที่สุด รองลงมาเป็นอัตราส่วน 1:3, 1:2 และ 1:1 เท่ากับ 442.63,

352.75, 320.5 และ 217.88 มิลลิลิตร ตามลำดับ แสดงว่าอัตราส่วนสารอินทรีย์ที่เพิ่มมีผลต่อปริมาณการเกิดแก๊สชีวภาพ จากรายงานของเพญแข (2544) ได้กล่าวถึงวงจรการเจริญเติบโตของจุลินทรีย์ในกระบวนการหมักแบบกว่า ในช่วงแรก จุลินทรีย์มีการเจริญเติบโตช้า เพราะอยู่ในช่วง Lag Phase เป็นช่วงการปรับตัวให้เข้ากับสภาวะแวดล้อมใหม่ เมื่อระยะเวลาผ่านไปการเจริญเติบโตของจุลินทรีย์อยู่ในระยะ Exponential หรือ Log Phase เป็นช่วงที่มีสมดุลของการเจริญ เช่น การแบ่งตัวเพิ่มประชากรเป็นสองเท่า ทำให้ปริมาณแก๊สชีวภาพสะสมในช่วงนี้เพิ่มสูงขึ้น ซึ่งสอดคล้องกับการพิจารณาองค์ประกอบของแก๊สชีวภาพที่ได้ในช่วงสุดท้ายของการผลิตแก๊สชีวภาพ ทำการวิเคราะห์ปริมาณแก๊สเมเทน ( $\text{CH}_4$ ) และแก๊สคาร์บอนไดออกไซด์ ( $\text{CO}_2$ ) ด้วยเครื่องแก๊สโคมากtrography (Gas Chromatography: GC) พบว่า ที่อัตราส่วน 1:4 ให้ปริมาณแก๊สเมเทนสูงสุด รองลงมาเป็นที่อัตราส่วน 1:3 ส่วน 1:2 และ 1:1 ให้ปริมาณแก๊สเมเทนไม่แตกต่างกัน เท่ากับร้อยละ 46.10 39.03 32.10 และ 32.11 ตามลำดับ ปริมาณแก๊สคาร์บอนไดออกไซด์สูงสุดในอัตราส่วน 1:4 รองลงมาเป็น 1:3 1:2 และ 1:1 เท่ากับร้อยละ 23.09 21.55 19.28 และ 16.10 ตามลำดับ ซึ่งมีรายงานวิจัยของนกมล (2548) กล่าวไว้ว่าปริมาณแก๊สเมเทนที่ได้เพิ่มสูงขึ้นตามอัตราส่วนสารอินทรีย์ที่เพิ่มขึ้น อัตราส่วนที่มีสารอินทรีย์น้อยจุลินทรีย์จะย่อยสลายสารอินทรีย์เพื่อใช้สร้างเซลล์ใหม่และ

เปลี่ยนไปเป็นแก๊สเมเทนได้น้อย และจากรายงานวิจัยของวนิดา (2543) ได้กล่าวถึงปริมาณแก๊สเมเทนและแก๊สคาร์บอนไดออกไซด์ ค่าทางทฤษฎี คือ ควร มีปริมาณแก๊สเมเทน ประมาณร้อยละ 50-70 แก๊สคาร์บอนไดออกไซด์ ประมาณร้อยละ 30-40 ส่วนที่เหลือเป็นแก๊สอื่น ๆ จากการทดลองทั้ง 4 อัตราส่วนพบว่ามีค่าน้อยกว่าทางทฤษฎี ทั้งนี้อัตราส่วน 1:4 มีปริมาณแก๊สเมเทนและแก๊สคาร์บอนไดออกไซด์สูงกว่าที่อัตราส่วนอื่น ๆ ถึงแม้จะไม่เป็นไปตามทฤษฎีแต่ก็ใกล้เคียงทฤษฎีมากกว่าที่อัตราส่วนอื่น ๆ บ่งบอกว่า อัตราส่วน 1:4 มีประสิทธิภาพในการผลิตแก๊สเมเทนมากที่สุด อาจเนื่องจากเป็นช่วงสุดท้ายของการทดลองระบบเริ่มนีประสิทธิภาพลดลง มีปริมาณแก๊สลดลง



รูปที่ 4 ปริมาณแก๊สชีวภาพสะสมของชุมชนพืชที่ปรับสภาพร่วมกับมูลวัว ในอัตราส่วนที่แตกต่างกันที่ต่างกัน

**ตารางที่ 3** ปริมาณแก๊สเมทีน ( $\text{CH}_4$ ) และแก๊สคาร์บอนไดออกไซด์ ( $\text{CO}_2$ ) ของการผลิตแก๊สชีวภาพจากชุมชนพืชที่ปรับสภาพร่วมกับมูลวัวในอัตราส่วนที่แตกต่างกันที่ต่างกัน

อัตราส่วน	ปริมาณแก๊สชีวภาพสะสม (มล.)	ร้อยละโดยปริมาตร		
		$\text{CH}_4$	$\text{CO}_2$	อื่น ๆ
1:1	217.88 <sup>b</sup>	32.11	16.10	51.79
1:2	320.50 <sup>ab</sup>	32.10	19.28	48.62
1:3	352.75 <sup>ab</sup>	39.03	21.55	39.42
1:4	442.63 <sup>a</sup>	46.10	23.09	30.81

หมายเหตุ: ค่าเฉลี่ยที่ไม่มีตัวอักษรร่วมแสดงความแตกต่างอย่างมีนัยสำคัญทางสถิติ ( $p<0.05$ )

นอกจากนี้ เมื่อพิจารณาผลของอัตราส่วนของ C:N Ratio ต่อการผลิตแก๊สชีวภาพของชุมชนพืชที่ต่อมูลวัว ในอัตราส่วนที่แตกต่างกัน คือ 1:1 1:2 1:3 และ 1:4 พบร่วมกันว่า มีค่า C:N Ratio เท่ากับ 58.59:1, 32.24:1, 29.40:1 และ 23.23:1 ตามลำดับ (ตารางที่ 4) ซึ่งจะเห็นได้ว่าที่อัตราส่วน 1:3 และ 1:4 ดีที่สุดซึ่งสอดคล้องกับงานวิจัยของ Yen and Brune (2007) ได้กล่าวว่าค่า C:N Ratio ที่เหมาะสมควรอยู่ในช่วง 20-30 ถ้าค่าสูงมากแบคทีเรียในกลุ่มเมทาโนเจนส์ (Methanogenic Bacteria) จะใช้ในโตรเรนเพื่อเสริมโปรตีนให้ตัวเองและจะหมดอย่างรวดเร็วส่งผลทำให้การผลิตแก๊สต่ำ แต่ในทางกลับกันถ้า C:N Ratio ต่ำมาก ๆ ทำให้ในโตรเรนมีมากไปและจะไปเกาะกันเป็นแอมโมเนียม ( $\text{NH}_4^+$ ) และมีน้ำเสียจะไปเพิ่มค่า pH เอเชสสูงกว่า 8.5 ซึ่งเป็นพิษต่อแบคทีเรียเมทาโนเจนส์

**ตารางที่ 4** อัตราส่วนของคาร์บอนต่อไนโตรเจน (C:N Ratio) ของชุมชนพืชที่ปรับสภาพร่วมกับมูลวัวในอัตราส่วนที่แตกต่างกันที่ต่างกัน

อัตราส่วน	C:N Ratio
1:1	58.59:1
1:2	32.24:1
1:3	29.40:1
1:4	23.23:1

### 3.5 ผลการศึกษาค่า TS VS SS COD pH และอุณหภูมิของการผลิตแก๊สชีวภาพจากชุมชนพืชที่พ่นการปรับสภาพร่วมกับมูลวัว

จากตารางที่ 5 พบร่วมกันว่า แต่ละอัตราส่วนมีปริมาณสารอินทรีย์ที่แตกต่างกัน โดยปริมาณของแข็งทั้งหมด (TS) ของแข็งระเหยได้ (VS) และ

ของแข็งแขวนลอย (SS) และซีโอดี (COD) ในวันแรกของระบบจะมีแนวโน้มเพิ่มสูงขึ้นตามอัตราส่วนที่เพิ่มขึ้นโดยอัตราส่วนที่มีประสิทธิภาพในการบำบัด TS สูงสุด คือ 1:4 เท่ากับร้อยละ 30.78

การทดลองนี้เป็นการทดลองแบบง่ายซึ่งจะมีการเติมวัสดุหมักเพียงครั้งเดียว ดังนั้น เมื่อระยะเวลาผ่านไปปริมาณสารอินทรีย์จะลดลง เพราะว่าจุลินทรีย์ย่อยสลายสารอินทรีย์อย่างต่อเนื่อง (นฤมล, 2548)

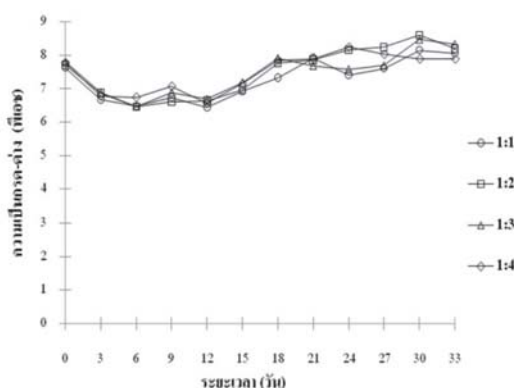
**ตารางที่ 5** ปริมาณอินทรีย์ตกตุ่นในวันแรกและวันสุดท้ายของการผลิตแก๊สชีวภาพจากขยะมะพร้าวที่ปรับสภาพร่วมกับมูลวัวในอัตราส่วนที่แตกต่างกันที่ต่างกัน เป็นเวลา 30 วัน

อัตราส่วน	พารามิเตอร์	เริ่มต้น	สุดท้าย	% Remove
1:1	TS (มก./ล.)	79,560±1,136	56,998±1,134	28.36
	VS (มก./ล.)	69,536±1259	50,225±1,499	27.77
	SS (มก./ล.)	214,675±26,125	26,125±2,379	87.83
	COD (มก./ล.)	49,215±1,291	17,360±224	64.73
1:2	TS (มก./ล.)	106,753±2,424	90,078±4,414	15.62
	VS (มก./ล.)	80,783±2,127	75,751±2,482	6.23
	SS (มก./ล.)	236,025±5,893	86,550±4,639	63.33
	COD (มก./ล.)	59,240±2,419	35,174±2,007	40.62
1:3	TS (มก./ล.)	143,584±2,202	114,601±1,610	20.19
	VS (มก./ล.)	82,306±943	53,626±1,428	34.85
	SS (มก./ล.)	279,775±4,260	96,325±2,693	65.57
	COD (มก./ล.)	67,764±1,113	40,744±624	39.87
1:4	TS (มก./ล.)	189,735±1,094	131,446±3,221	30.78
	VS (มก./ล.)	93,886±2,358	30,494±1,649	67.52
	SS (มก./ล.)	253,759±2,007	126,800±4,926	50.03
	COD (มก./ล.)	122,278±1,335	71,417±485	41.59

ประสิทธิภาพในการบำบัด VS สูงสุด คือ ร้อยละ 1:4 เท่ากับ 67.52 ในวันแรกของการผลิตแก๊สชีวภาพปริมาณ SS ที่อัตราส่วน 1:1, 1:2, 1:3 และ 1:4 มีค่าเท่ากับ 214,675, 236,025, 279,775 และ 253,759 มิลลิกรัมต่อลิตร ตามลำดับ และในวันสุดท้ายของการผลิตแก๊สชีวภาพ พบร่วมกับ SS ลดลงจากวันแรก ที่อัตราส่วน 1:1,

1:2, 1:3 และ 1:4 มีค่าเท่ากับ 26,125, 86,550, 96,325 และ 126,800 มิลลิกรัมต่อลิตร ตามลำดับ อัตราส่วนที่มีประสิทธิภาพในการบำบัด SS สูงสุด คือ 1:1 เท่ากับร้อยละ 87.83 สำหรับปริมาณ COD ในวันแรกของการผลิตแก๊สชีวภาพ พบร่วมกับ COD ที่อัตราส่วน 1:1, 1:2, 1:3 และ 1:4 มีค่าเท่ากับ 49,215, 59,240, 67,764 และ 122,278

มิลลิกรัมต่อลิตร ตามลำดับ และในวันสุดท้ายของ การผลิตแก๊ลชีวภาพ พบร่วม COD ลดลง จากวันแรก ที่อัตราส่วน 1:1, 1:2, 1:3 และ 1:4 มีค่าเท่ากับ 17,360, 35,174, 40,744 และ 71,417 มิลลิกรัมต่อลิตร อัตราส่วนที่มีประสิทธิภาพในการ บำบัด COD คือ 1:1 เท่ากับร้อยละ 64.73 ตามลำดับ

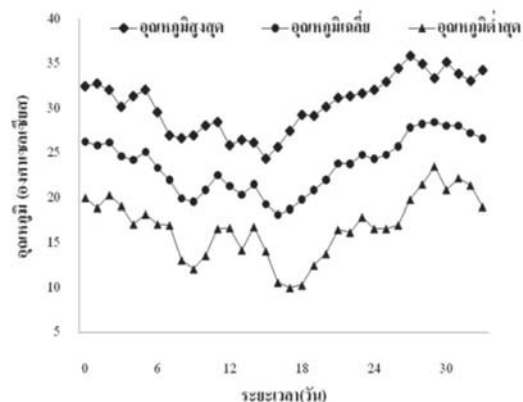


รูปที่ 5 ความเป็นกรด-ด่าง (pH) ในแต่ละวันของการ ผลิตแก๊ลชีวภาพจากขุยมะพร้าวที่ปรับสภาพ ร่วมกับน้ำมันลัวในอัตราส่วนที่แตกต่างกัน

สำหรับค่าพีเอชของแต่ละอัตราส่วนมีค่าใกล้ เคียงกันดังแสดงใน (รูปที่ 5) โดยในวันแรกของ การผลิตแก๊ลชีวภาพมีค่าพีเอชอยู่ในช่วง 7.63-7.81 วันที่ 0-6 ของการหมักค่าพีเอชลดลง และในวันที่ 12 เป็นต้นไป ค่าพีเอชมีแนวโน้มเพิ่มขึ้น เนื่องจาก ในช่วงแรกมีการทำงานของแบคทีเรียที่สร้างกรด ทำให้ค่าพีเอชลดลง และเมื่อแบคทีเรียที่สร้าง มีเอนไซม์สามารถนำกรดที่สร้างได้ไปใช้ผลิตกําชีวมีเคน ทำให้พีเอชเพิ่มขึ้น ซึ่งสอดคล้องกับงานวิจัยการ ผลิตกําชีวภาพจากตะกอนดีแคนเตอร์ของโรงพยาบาล สกัดน้ำมันปาล์มดิบของนกุมล (2556) คือ พีเอชช่วง เริ่มต้นของแต่ละภาระอยู่ในช่วง 7.6-7.67 และ ค่าพีเอชในสิ้นหมักเกี่ยวข้องโดยตรงกับระยะเวลา

ในการหมัก ถ้าพีเอชต่ำกว่า 6.5 หรือสูงกว่า 7.6 ประสิทธิภาพของระบบจะเริ่มลดลง เพราะที่สภาวะ นี้จะเป็นอันตรายต่อจุลทรีกลุ่มสร้างมีเคน (Mc Carty, 1964) จุลทรีกลุ่มสร้างมีเคนมีความ อ่อนไหวต่อการเปลี่ยนแปลงของค่าพีเอชมาก ถ้า ต้องการให้ระบบมีประสิทธิภาพควรมีการควบคุม พีเอชให้เหมาะสม เพราะพีเอชเป็นพารามิเตอร์หนึ่ง ที่มีความสำคัญในการควบคุมระบบบำบัดแบบ ไร้ออกซิเจน (Poh and Chong, 2010)

อุณหภูมิตลอดระยะเวลาการผลิตกําชีวภาพ (รูปที่ 6) พบร่วม ช่วงที่มีอุณหภูมิต่ำ คือ วันที่ 8-9 มีอุณหภูมิอยู่ในช่วง 19.55-19.90 องศาเซลเซียส และวันที่ 15-18 มีอุณหภูมิอยู่ในช่วง 18.15-19.8 องศาเซลเซียส ซึ่งจากการรายงานของกิตติกานทร์ (2554) กล่าวว่าพวกจุลทรีในกลุ่มเมทาโนเจนล์ จะไม่ทนอุณหภูมิต่ำมากหรือสูงมาก ถ้าอุณหภูมิ ลดลงต่ำกว่า 10 องศาเซลเซียสแบคทีเรียมีแทโน-เจนล์จะไม่ทำงาน การทำงานของระบบนี้จะอยู่ใน ช่วง Mesophilic (อุณหภูมิประมาณ 20-45 องศา เซลเซียส)



รูปที่ 6 การเปลี่ยนแปลงของอุณหภูมิในแต่ละวันของการ ผลิตแก๊ลชีวภาพจากขุยมะพร้าวที่ปรับสภาพ ร่วมกับน้ำมันลัวในอัตราส่วนที่แตกต่างกัน

## 4. ສຽງ

ຈາກການສຶກຂາການປັບສຸກພຸ່ມພົມພໍາຮ້າວ ໂດຍວິທີການເຄມື່ອງທາງກາຍກາພ ພບວ່າ ການປັບສຸກພຸ່ມພໍາຮ້າວ ສາມາດດ້ວຍສາරະລາຍໂສດ້ເດີມໄອດຣອກໃຊ້ດໍາລວມ ເຂັ້ມຂັ້ນຮ້ອຍລະ 30 ໂດຍນ້ຳໜັກ ທຳໃຫ້ມີປົກມານ ເຊລູໂລສ ແລະ ເຢີມເຊລູໂລສ ເພີ່ມຂັ້ນມາກວ່າ ການປັບສຸກພຸ່ມພໍາຮ້າວ ງໍ່ ແລະ ປົກມານລືກນິນລດລງ ນອກຈາກນີ້ ຜົກການສຶກຂາເປົ້າຍບໍ່ເຖິງປົກມານ ການຜົດແກ້ລື້ວງພາພຂອງແຕ່ລະອັດຕາລຸວຸນ ພບວ່າ ອັດຕາລຸວຸນຂອງປົກມານແກ້ລື້ວງເຫັນ ( $\text{CH}_4$ ) ຕ່ອແກ້ລ ອາຮົາບອນໄດ້ອັກໃຊ້ດໍາລວມ ( $\text{CO}_2$ ) ທີ່ 1:4 ໃຫ້ປົກມານ ແກ້ລື້ວງພາສະໜູນສູງສຸດທ່າກັນ 442.63 ມີລືລືຕົວ ປົກມານແກ້ລື້ວງເຫັນທ່າກັບຮ້ອຍລະ 46.10 ແລະ ປົກມານແກ້ລື້ວງອາຮົາບອນໄດ້ອັກໃຊ້ດໍາລວມທ່າກັບຮ້ອຍລະ 23.01 ຈຶ່ງກ່າວໄດ້ວ່າໝູນພໍາຮ້າວມີຄ້າຍກາພໃນການ ພົດແກ້ລື້ວງພາ ສາມາດນຳນາມປະຢຸດໃຫ້ເປັນ ວັດຖຸໜັກຮ່ວມກັບມຸລວັງໃນການຜົດແກ້ລື້ວງພາໄດ້

## 5. ກົດຕິກຣມປະກາດ

งานວິຈัยນີ້ໄດ້ຮັບຖຸນລັບສຸນຈາກຄູນຍົງລ່າງເລີ່ມ ກາງວິຈัยແລະຄ່າຍທອດເທິກໂນໂລຢີ (ສຄວ.) ແລະ ໜ່ວຍວິຈัยຈຸລິນທີ່ເພື່ອການເກະຊາດ ຄົນະຄືລປຄາສຕ່ວ ແລະ ວິທາຍາສຕ່ວ ມາຮົມມາລັບເກະຊາດສຕ່ວ ວິທາຍາເບີດກຳແພັງແລ້ນ

## 6. ເອກສາຮອັງອອງ

ກົດຕິກຣມທີ່ ລຸຂວາණີ່ຍື່. 2554. ການເປົ້າຍບໍ່ເຖິງ ການເພີ່ມປະສົງທີ່ກາພການຜົດກຳໜີ້ວິກາພ ຈາກກາມນັ້ນສຳປະລັດຮ່າງທ່າງກະນະວັນການ ໄອດຣາໂລສີລົດ້ວຍກຽດແລະດ້າງ. ວິທານິພນ໌ ປົງປົງຄູນທາບັນທຶດ. ເຊີ່ງໃໝ່: ມາຮົມມາລັບ ເຊີ່ງໃໝ່.

ຈົດຕິມາ ດາໃຊຍໃຫຍ່, ສົມບູຮົນ ອັນຕາໂກ້ຊ້ຍ ແລະ ສຸກວິນທີ່ ໃຊຍກາງເມືອງ. 2554. ການປັບສຸກພຸ່ມພໍາຮ້າວ ສາມາດດ້ວຍໄອນ້ແລະສາරະລາຍ ໂສດ້ເດີມໄອດຣອກໃຊ້ດໍາລວມເພື່ອພົດ ເອທານອລ. ຮາຍງານການປະຊຸມວິຊາການ ນານາຊາດວິຊາກວ່າມເຄມື່ອງທີ່ ແລະ ເຄມື່ປະຢຸດ ແກ້ໄຂປະເທດໄທ ຄັ້ງທີ່ 21. ມາຮົມມາລັບ ສົງລານຄວິນທີ່, ສົງລາ.

ທັກນີ້ ອັດຕັນນີ້ ແລະ ຈົນທີ່ຈັນທີ່ເຈີນສູນ. 2542. ແບບຝຶກທັດແລະ ຄຸນມີບັນດາການການວິເຄາະທີ່ ດິນ ແລະ ພຶບປັງປູປີວິທາ. ຄົນະເກະຊາດ ກຳແພັງແລ້ນ ກຽງເທິພາ: ມາຮົມມາລັບ ເກະຊາດສຕ່ວ.

ນວກວັດນີ້ ຈິນດາວັດນີ້. 2553. ການສຶກສາກວະທີ່ ເໝາະສົມໃນການເຕັມໄອໂດຣາໂລສີເສລັກ ຕົບໜາໂດຍໜ້ອນໜຶ່ງໄອນ້ແຮງດັນສູງເພື່ອ ພົດເອທານອລ. ປັບປຸງທາພີເຄີຍປົງປູປີ, ມາຮົມມາລັບເກະຊາດສຕ່ວ. ມປທ.

ນຸ່ມລ ຄວິວິຫຼາດ. 2548. ການຜົດພອງນ້ຳເສັ້ນໄຝ ອະຮົມຈາຕີຈາກຈານອ້ອຍເພື່ອເປັນວັດດຸດຊົມ ນ້ຳມັນປັນເປົ້ອນໃນທະເລ. ວິທານິພນ໌ ປົງປູປີທາບັນທຶດ. ກຽງເທິພາ: ມາຮົມມາລັບ ເກະຊາດສຕ່ວ.

ນຸ່ມລ ທ່າກະໂທກ. 2556. ການຜົດກຳໜີ້ວິກາພ ຈາກຕະກອນດີແຄນເຕັກໂນໂລຢີ ນ້ຳມັນປັນມີບັນດາກຳນ້ຳເສີຍຈາກໂຮງງານ ແປຣູປອາຫາຣະເລແຊ້ແໜ້ງ. ວິທານິພນ໌ ປົງປູປີທາບັນທຶດ. ສົງລາ: ມາຮົມມາລັບ ສົງລານຄວິນທີ່.

ພ່ອງສັກດີ ໂພຣີຄວິວທອງ. 2553. ການຜົດກຳໜີ້ວິກາພ ຈາກມູລໂຄແລະ ເປົ້າຍບໍ່ປະປົດໂດຍກະບວນ ການຍ່ອຍສລາຍກາຍໃຕ້ສກວະໄວ້ອອກສີເຈນ. ວິທານິພນ໌ ປົງປູປີທາບັນທຶດ. ມາສົງລາມ: ມາຮົມມາລັບສາມາຄາມ.

- ເພື່ອແກ້ໄຂ ວັນໄຊຍອນວາງຄ. 2544. ເຕොໂລຢີສິວກາພ. ກຽງເທເພາ: ສຳນັກພິມພົມທາວິທາຍາລັບເກະຫວຽດສາລຕຣ໌.
- ມັນລືນ ຕັ້ນຖຸລເວຄມໍ ແລະ ມັນຮັກໝໍ ຕັ້ນຖຸລເວຄມໍ. 2551. ຄູ່ມືອວິເຄຣະທີ່ຄຸນກາພນໍ້າ. ພິມພົມ ອົງທຶນທີ 5. ກຽງເທເພາ: ໂຮງພິມພົມແຫ່ງຈຸພ້າລັງກຣນມທາວິທາຍາລັບ.
- ວັນດາ ຈຸລເມຕຕໍ. 2543. ການເພີ່ມປະລິທິກາພ ຮະບນບ່ອໄນໂອກ້າຊໂດຍສາຮສັກຈາກຕັ້ນຢັກຄາ. ວິທານິພນໍປະລິມານທາບັນທິດ. ກຽງເທເພາ: ມທາວິທາຍາລັບເກະຫວຽດສາລຕຣ໌.
- ຮ້າຍພລ ພະວົງຄົວຕົນ. 2554. ການຕຶກຂາສກວາະທີ່ເໜັນສົນໃນການເຕີຍມໄອໂດຣໄລເສທ ຜັກດົບຂວາໂດຍໜຳນຶ່ງໄອນ້ແຮງດັນສູງເພື່ອ ພລິຕເອການອລ. Veridian E – Journal SU. 4 (1): 891-901.
- ສຳນັກງານເຄຣະສູງກິຈການເກະຫວຽດ. 2552. ສົດ ການເກະຫວຽດຂອງປະເທດໄທ ປີ 2552. ກຽງເທເພາ: ກະທຽວງານເກະຫວຽດແລະສທກຣນ.
- ສມຈິນຕາ ລື້ມສຸຂ, ປຸ່ນຍົວ ເພີຍຮ່ວມ ແລະອນ້ຮັກໝໍ ປິຕິຮັກໝໍສກລ. 2554. ການພລິຕກໍາຊືວກາພຈາກເສົ້າອາຫາວົວ່ວມກັບກີ່ເຊອຮອລດີບທີ່ໄດ້ຈາກກະບວນການພລິຕໄບໂອດີເຊລ. ວິສວກຮົມສາຮມຂ. 38(2) (ເມນາຍນ-ມິກຸນາຍນ): 101-110.
- ສມຄູດ ຄູ່ທີ່ຢາກລຸມ. 2551. ສັກຍກາພກາຮັດຕົກໍາຊືວກາພແລະພລພລອຍໄດ້ຈາກກາຮ່າມກັກມູລສຸກຮ່ວມກັບສາຫວ່າຍໜານຈາກທະເລສາຍສົງຂລາ. ວິທານິພນໍປະລິມານທາບັນທິດ. ມທາວິທາຍາລັບສົງຂລານຄວິນທີ່.
- Abubakar, B.S.U.I. and N. Ismail. 2012. Anaerobic digestion of cow dung for biogas production. ARPN Journal of Engineering and Applied Sciences 7, 2: 169-172.
- AOAC. Association of Official Analytical Chemists (1980). *Official methods of analysis*. 13<sup>th</sup> edn. AOAC, Washington, DC.
- Hu Q.H., X. F. Li, L. He, G.C. Du and C. Jian. 2008. Enhancement of methane fermentation in the presence of  $Ni^{2+}$  chelators. *Biochem Eng J.* 38: 98-104.
- Mc Carty, P.L. 1964. Anaerobic waste treatment fundamental part I, II, III and IV. Process Design. *Journal public work* 95(9): 107-115.
- Pilanee, V., Waraporn, A., Wuttinunt, K., and Sarima, S. 2011. The potential of coconut husk utilization for bioethanol production. *Kasetsart J.* 45: 159-164.
- Poh, P.E. and M.F. Chong. 2010. Biomethanation of Palm Oil Mill Effluent (POME) with a thermophilic mixed culture cultivated using POME as a substrate. *Chemical Engineering Journal* 164: 146-154.
- Walkley, A. and I.A. Black, 1934. An examination of the degtjareff method for determining soil organic matter, and a proposed modification of the chromic acid titration method. *Soil Sci.* 37: 29-38.
- Yen, H.W. and D.E. Brune. 2007. Anaerobic co-digestion of algal sludge and waste paper to produce methane. *Bioresource Technology* 98(8): 130-134.